

## بررسی تفاوت های ژنتیکی پاتوتایپ های زنگ قهوه ای گندم ایران بر اساس تعیین توالی ناحیه ITS1

علیرضا نیازمند<sup>\*</sup>، شهاب حاج منصور<sup>۲</sup>

<sup>۱</sup> استادیار، دانشگاه آزاد اسلامی، واحد جهرم، گروه بیماری شناسی گیاهی، <sup>۲</sup> کارشناس ارشد، دانشگاه آزاد اسلامی، واحد علوم و تحقیقات تهران، گروه بیماری شناسی گیاهی

### چکیده:

سابقه و هدف: بیماری زنگ قهوه ای (زنگ برگی) گندم یکی از بیماری های مهم گندم است که توسط قارچ *Puccinia triticina Erikson* ایجاد می شود. در سال های اخیر توالی یابی نواحی مختلف DNA ریبوزومی به ویژه ناحیه ITS1 به منظور بررسی تفاوت های ژنتیکی پاتوتایپ های عوامل بیماری زنگ های مختلف گندم مورد استفاده قرار گرفته است. هدف از انجام این پژوهش، بررسی تشابهات و تفاوت های موجود بین پاتوتایپ های عوامل بیماری زنگ قهوه ای گندم در مناطق مختلف جغرافیایی ایران بر اساس توالی یابی ناحیه ITS1 از DNA ریبوزومی بود.

مواد و روش ها: در ابتدا DNA یوریدینیوسپورهای پاتوتایپ های عامل بیماری زنگ قهوه ای گندم استخراج گردید. سپس از تکنیک PCR و پرایمرهای ITS5 و Rust2 به منظور تکثیر ناحیه ITS1 استفاده شد. محصولات PCR تعیین توالی شدنده و شماره دسترسی آنها در بانک ژن ثبت گردید. با استفاده از نرم افزارهای MEGA4 و DNA MAN هم ترازی توالی ها و مقایسه توالی های تکرار شونده در طول ناحیه ITS1 انجام گرفت. یافته ها: بررسی توالی های ITS1 تکثیر شده جدایه ها نشان دهنده تفاوت ۰-۱/۲ درصدی بین آنها بود. این تفاوت ها شامل نواحی جهش یافته، حذف و اضافه شده و نیز اندازه متفاوت ناحیه تکثیر شده در بین توالی های مورد بررسی بود. همچنین مشخص گردید که ناحیه ITS1 زنگ قهوه ای گندم از تعدادی نواحی تکرار شونده بازی تشکیل شده است. این نواحی از نظر تعداد واحد های تکرار شونده و همچنین ترتیب بازها در بین جدایه های مختلف، متفاوت گزارش شدند.

نتیجه گیری: در مطالعه حاضر با وجود تفاوت در طیف بیماری زنگ قهوه ای گندم مربوط به ناحیه ITS1 دارای تفاوت اندکی با یکدیگر بودند. از آن جایی که هیچ گونه ارتباط منطقی بین تفاوت های موجود در ناحیه ITS1 جدایه ها و تفاوت میان پاتوتایپ و فنوتایپ جدایه ها مشاهده نشد، بنابراین توالی یابی این ناحیه از DNA ریبوزومی نمی تواند به عنوان یک مارکر جهت تشخیص پاتوتایپ های قارچ عامل بیماری زنگ قهوه ای گندم مورد استفاده قرار گیرد.

واژگان کلیدی: زنگ قهوه ای گندم، توالی یابی، ITS1

پذیرش برای چاپ: آبان ۱۳۸۹

دریافت مقاله: مهر ۱۳۸۹

(\* آدرس برای مکاتبه: جهرم، دانشگاه آزاد اسلامی، واحد جهرم، گروه بیماری شناسی گیاهی

تلفن: ۰۹۱۷۷۱۰۴۸۷۰

پست الکترونیک: niazmnad2003@yahoo.com

## مقدمه

بزرگ (کشور و قاره)، کوچک (مزروعه، گیاه و حتی یک جوش) و شرایط آب و هوایی مختلف ضروری می‌باشد (۱۵). در سال‌های اخیر به کارگیری مارکرهای مولکولی به منظور بررسی تفاوت‌های ژنتیکی موجود میان جمعیت‌های مختلف قارچ‌های بیماری‌زای گیاهی به طور وسیعی گسترش یافته است. موضوع بسیاری از این تحقیقات بررسی ژن‌های ریبوزومی بوده است (۱۶-۱۹).

در اغلب یوکاریوت‌ها، RNA دارای واحدهای تکراری از ژن‌های است که ژن‌های RNA های ریبوزومی یعنی ژن‌های ۲۸S، ۱۸S و ۵S را کد می‌نمایند. این نقاط ژنومی توسط فاصله ITS (Internal Transcribed spacer) و آژهای (Intergenic spacer) مشتمل بر سه قسمت ۱۸S، ۵S و ۲۸S است. این قسمت‌ها از نظر تکاملی نواحی با ثبات بالا و دارای تغییرات اندک در طول تکامل می‌باشند. در دو طرف ژن ۵S فاصله گذارهایی با نام‌های ITS1 و ITS2 قرار دارند. این بخش‌ها سریع‌ترین مناطق در حال تکامل DNA ریبوزومی هستند که اختصاصی گونه است و اغلب بین جمعیت‌ها، افراد و حتی در درون یک سلول منفرد نیز متفاوت می‌باشند. امروزه نواحی ITS و IGS منابع مهمی در به دست آوردن اطلاعات مربوط به شناسایی بسیاری از گونه‌های قارچی محسوب می‌شوند (۲۰). از مارکرهای ITS برای شناسایی گونه‌های قارچی کاملاً متنابه با یکدیگر استفاده شده است (۲۱ و ۲۲). چند شکلی مشاهده شده در این نواحی می‌تواند بیانگر تفاوت‌های درون و بین گونه‌ای قارچ‌ها باشد. چند شکلی در این نواحی در رابطه با نزد از زنگ سیاه گندم *Puccinia graminis f. sp. tritici* و نزد از زنگ جو *Puccinia hordei* گزارش گردیده است (۲۳ و ۲۴).

تعیین توالی نواحی ITS1، ۵S و ITS2 جدایه‌های جمع‌آوری شده قارچ *P. graminis* از نقاط مختلف ایران، اروپا، آمریکا و نیز از میزبانان مختلف نشان داده است که علاوه بر وجود چند شکلی طولی میان جدایه‌ها در این نواحی، تفاوت‌های نیز از نظر محتوای نوکلئوتیدی توالی‌ها وجود دارد (۲۵). اخیراً توالی یابی این نواحی ژنتیکی مورد توجه محققین قرار گرفته است. انجام این تحقیقات کمک بسیار زیادی به فهم تفاوت‌های ژنتیکی موجود بین پاتوتایپ‌ها و افراد موجود در جمعیت‌های این پاتوژن‌ها نموده

بیماری زنگ قهوه‌ای (زنگ برگی) گندم یکی از بیماری‌های مهم گندم (*Triticum aestivum L.*) است که توسط قارچ *Puccinia triticina Erikson* (اخیراً نام علمی *Puccinia persistens ssp. Triticina* است) ایجاد می‌شود (۱). این بیماری به عنوان یک عامل کاهش دهنده محصول گندم در بسیاری از نقاط جغرافیایی جهان شناخته شده است (۲-۴). میزان کاهش محصول ناشی از این بیماری متفاوت بوده و از مقادیر بسیار کم تا بالای ۵۰٪ گزارش گردیده است. این میزان به زمان آلدگی، مرحله رشد و مقاومت ارقام گندم وابسته می‌باشد (۵). در کشور مصر میزان کاهش محصول گندم ناشی از این بیماری بیش از ۵۰٪ گزارش گردیده است (۶). در ایران این بیماری به صورت اندمیک مشاهده شده و هر ساله در مناطقی از شمال، جنوب و غرب موجب خسارت زیادی می‌گردد.

قارچ مولد بیماری زنگ قهوه‌ای گندم دارای پاتوتایپ‌های بسیاری در ایران و سایر نقاط جهان می‌باشد. مبنای تعیین این پاتوتایپ‌ها، تلقیح مصنوعی جدایه‌های این قارچ بر روی ارقام استانداردی است که دارای ژن‌های مقاومت (*Lr genes*) به این بیماری می‌باشند. بررسی واکنش‌های متقابل این ارقام با قارچ مولد بیماری می‌تواند تعیین کننده فاکتورهای بیماری‌زاوی موجود در قارچ عامل بیماری باشد. بر همین اساس پاتوتایپ قارچ با توجه به فرمول غیربیماری‌زاوی / بیماری‌زاوی بر روی ژن‌های مقاومت تعیین می‌گردد. در بسیاری از نقاط ایران و جهان مطالعات زیادی به منظور تعیین پاتوتایپ‌های عامل بیماری زنگ قهوه‌ای گندم در حال انجام است. بررسی‌ها نشان می‌دهند که جمعیت‌های متفاوتی از پاتوتایپ‌های این قارچ در کشورهای مختلف در حال فعالیت و ایجاد بیماری بر روی گیاه گندم می‌باشند (۷-۱۴). این امر بیانگر این نکته است که جمعیت‌های مختلف این قارچ از لحاظ ژنتیکی متنوع هستند. فهم دقیق و عمیق از ساختار ژنتیکی جمعیت پاتوژن تأثیرات عمیقی بر کارایی روش‌های کنترل دارد. هر چند تحقیقات زیادی در خصوص بیماری زنگ گندم در بسیاری از نقاط جهان در حال انجام است، اما شناسایی کامل ساختار ژنتیکی جمعیت‌های این پاتوژن در مناطق جغرافیایی

جدول ۱: فناوری‌های بیماری‌زایی و فرمول بیماری‌زایی / غیربیماری‌زایی جدایه‌های زنگ قهوه‌ای.

شماره	فناوری‌های بیماری‌زا	فرمول بیماری‌زایی / غیربیماری‌زایی (زنگ های Lr)	مناطق
۱	TKTT	10+27+31,9,10+,19,25,28,29,36,23+/b,1,2a,2c,3a,2b,3bg,3ka,10,14a,11,12,13,14b,15,16,17,18,20,21,22a,22b,23,24,26,30,32,33,34,35,37	مریوان I
۲	PKTT	10+27+31,2a,9,10+,19,20,25,28,29,33,36,23+/b,1,2b,2c,3,3bg,3ka,10,11,12,13,14a,14b,15,16,17,18,2,2b,21,22a,23,24,26,30,32,34,35,37	مریوان II
۳	PJTT	10+27+31,2a,9,10+,19,23,23+,25,26,28,29,36/b,1,2b,2c,3,3bg,3ka,10,11,12,13,14a,14b,15,16,17,18,2,0,21,22a,22b,24,30,32,33,34,35,37	همدان I
۴	PKTT	10+27+31,2a,9,10+,19,20,25,28,29,33,36,23+/b,1,2b,2c,3,3bg,3ka,10,11,12,13,14a,14b,15,16,17,18,2,2b,21,22a,23,24,26,30,32,34,35,37	همدان II
۵	FFTQ	10+27+31,1,2a,9,13,14a,15,16,18,19,25,28,29,34,36/b,2b,2c,3,3bg,3ka,10,10+,11,12,14b,17,20,21,22,a,22b,23,23+,24,26,30,32,33,35,37	اسلام آباد
۶	PGJR	10+27+31,2a,2b,3ka,9,10+,13,14a,19,21,24,25,26,28,30,33,36/b,1,2c,3,3bg,10,11,12,15,14b,16,17,1,8,20,22a,22b,23,23+,29,32,33,35,37	بروجرد I
۷	TJTS	10+27+31,2b,9,10+,15,18,19,21,23,23+,25,26,28,29,33,34,36/b,1,2a,2c,3,3bg,3ka,10,11,12,13,14a,14,b,16,17,20,22a,22b,24,30,32,35,37	بروجرد II
۸	MHTT	10+27+31,2a,2b,2c,9,15,19,21,23+,24,25,28,29,34,36/b,1,3,3bg,3ka,10,10+,11,12,13,14a,14b,16,17,18,20,22a,22b,23,26,30,32,33,35,37	اردبیل I
۹	THRK	10+27+31,b,9,15,17,19,22a,24,25,28,29,32,34,36,37/1,2a,2b,2c,3,3bg,3ka,10,10+,11,12,13,14a,14b,1,6,18,20,21,22b,23,23+,26,30,33,35	اردبیل II
۱۰	MBRH	10+27+31,b,2a,2c,9,10+,12,13,14a,15,16,17,19,21,23,23+,24,25,26,28,29,32,36/1,2b,3,3bg,3ka,10,1,1,14b,18,20,22a,22b,30,33,34,35,37	اهواز I
۱۱	TKTT	10+27+31,9,10+,19,25,28,29,36,23+/b,1,2a,2c,3,2b,3bg,3ka,10,14a,11,12,13,14b,15,16,17,18,20,21,2,2a,22b,23,24,26,30,32,33,34,35,37	اهواز II
۱۲	FGST	10+27+31,1,2a,2b,3bg,9,10+,13,19,21,22b,23,23+,24,25,26,28,29,30,32,34,35,36,37/b,2c,3,3ka,10,1,1,12,14a,14b,15,16,17,18,20,22a,33	قراخان I
۱۳	PKQT	10+27+31,2a,9,10+,17,19,21,23,23+,25,28,29,30,33,34,36/b,1,2b,2c,3,3bg,3ka,10,11,12,13,14a,14b,1,5,16,18,20,22a,22b,24,26,32,35,37	قراخان II
۱۴	PKRT	10+27+31,2a,9,10+,13,15,17,19,21,23+,25,28,29,34,36/b,1,2c,2b,3,3bg,3ka,10,11,12,14a,14b,16,18,20,22a,22b,23,24,26,30,32,33,35,37	کرج I
۱۵	PKHT	10+27+31,2a,3ka,9,10+,17,19,20,23+,25,28,32,34,36,39/b,1,2b,2c,3,3bg,10,11,12,13,14a,14b,16,18,22a,22b,23,24,26,29,30,32,33,35,37	کرج II
۱۶	PJTT	10+27+31,2a,9,10+,19,23,23+,25,26,28,29,36/b,1,2b,2c,3,3bg,3ka,10,11,12,13,14a,14b,15,16,17,18,2,0,21,22a,22b,24,30,32,33,34,35,37	گرگان I
۱۷	BBLN	10+27+31,1,2a,2b,2c,3,3bg,9,10,10+,11,12,13,14b,15,16,17,18,19,21,22b,23,23+,24,25,26,28,29,30,32,33,34,36/b,3ka,14a,20,22a,35,37	گرگان II
۱۸	TCTT	10+27+31,9,10+,14b,16,19,21,24,25,28,29,36,23+/b,1,2a,2b,2c,3,3bg,3ka,10,11,12,13,14a,15,17,18,2,0,22a,22b,23,26,30,32,33,34,35,37	مشهد
۱۹	PKTT	10+27+31,2a,9,10+,19,20,25,28,29,33,36,23+/b,1,2b,2c,3,3bg,3ka,10,11,12,13,14a,14b,15,16,17,18,2,2b,21,22a,23,24,26,30,32,34,35,37	زرقان
۲۰	PHTQ	10+27+31,2a,9,10+,14a,15,18,19,23,23+,24,25,28,29,34,35,36/b,1,2c,2b,3,3bg,3ka,10,11,12,13,14b,16,17,26,20,21,22a,22b,30,32,33,37	مغان

کرج، گرگان، مشهد، مریوان، مغان و همدان بودند (جدول ۱).  
 ب) استخراج DNA: مقدار ۰/۰ گرم پودر یوریدینیوسپور از هر جدایه به طور مجزا در لوله های ۱/۵ سی سی استریل ریخته شد. سپس ۰/۱ گرم پودر کاربراندوم اتوکلاو شده به لوله ها اضافه گردید. لوله ها درون هاون چینی بزرگ قرار گرفته و مقدار ۱ لیتر ازت مایع به آن اضافه شد. پس از انجماد یوریدینیوسپورها، لوله ها سریعاً ازت مایع خارج و به کمک یک متنه معمولی حدود ۲۰ تا ۳۰ ثانیه ساییده شدند. در این مطالعه به جای نوک متنه فلزی معمولی، از یک تیپ (sampler) ۱/۵ سی سی اتوکلاو شده که نوک آن با شعله کاملاً مسدود شده بود استفاده گردید. بقیه مراحل استخراج DNA بر مبنای روش توصیه شده توسط ریدر و برودا انجام گرفت

است. در مطالعه حاضر سعی شده است که تشابه ها و تفاوت های زنگی بین پاتوتایپ های مختلف عوامل بیماری زنگ قهوه ای گندم در مناطق مختلف جغرافیایی ایران بر اساس توالی یابی ناحیه ITS1 از DNA ریبوزومی مورد بررسی قرار گیرد.

## مواد و روش ها

الف) انتخاب نمونه ها: در ابتدا ۲۰ جدایه *P. triticina* متفاوت از نظر جغرافیایی و پاتوتایپی (که در مطالعات قبلی تعیین پاتوتایپ شده بودند) انتخاب گردیدند (۱۴). این جدایه ها مربوط به مناطق اردبیل، اسلام آباد، اهواز، بروجرد، زرقان، قراخان ساری،

آگاروز یک درصد منتقل و پس از الکتروفورز به وسیله دستگاه ژل داک (Gel Documentation) مورد بررسی قرار گرفت. سپس این محصولات مستقیماً برای تعیین توالی استفاده شدند.

د) تجزیه و تحلیل داده‌ها: برای شناسایی توالی‌های تکثیر شده ITS1، این توالی‌ها به کمک نرمافزار NCBI Blast Search مورد بررسی قرار گرفته‌اند. پس از آماده سازی توالی‌ها، هم ترازی آن‌ها با کمک نرم افزار MEGA4 انجام گرفت. به منظور بررسی واحدهایی از بازه‌ای تکرار شده در طول ناحیه ITS1 از هر جدایه و مقایسه این واحدهای تکرار شده با یکدیگر از نرم افزار MAN DNA استفاده شد. به کمک این نرم افزار موقعیت و تعداد بازه‌ای تکرار شده در طول توالی هر جدایه تعیین گردید. توالی‌های تکثیر شده در بانک ژن به شماره JN120312 تا JN120331 به ثبت رسیدند.

## نتایج

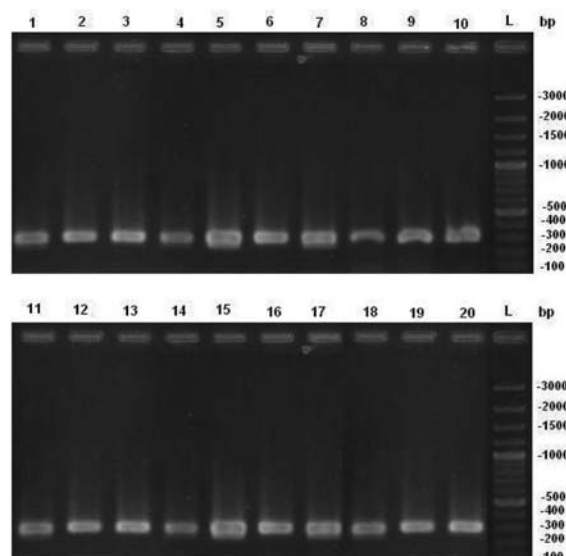
الف) تکثیر ناحیه rDNA ITS1: حاصل تکثیر این ناحیه ژنومی از تمامی جدایه‌های مورد بررسی تولید باندهایی در حدود ۳۲۱ جفت بازی بود (شکل ۱). وجود این باندهای یکسان در مورد تمامی جدایه‌ها بیانگر عدم وجود چند شکلی طولی جدایه‌های مورد بررسی در این ناحیه از DNA می‌باشد.

ب) تجزیه و تحلیل توالی‌های جدایه‌ها: پس از تعیین توالی Blast Search قطعات تکثیر شده توسط PCR، با کمک نرم افزار NCBI تکثیر ناحیه ITS1 قارچ *P. triticina* مورد تأیید قرار گرفت. هم‌ترازی جفت بازی از توالی‌های ITS1 مربوط به جدایه‌های مورد بررسی نشان دهنده ۰-۱/۲ درصد تفاوت بین آنها بود. این تفاوت‌ها شامل وجود نواحی جهش یافته، حذف و یا اضافه شده در بین توالی‌های مورد بررسی بود (شکل و جدول ۲). همچنین به دلیل وجود نواحی حذف و اضافه شده تفاوت‌هایی از نظر طول رشته تکثیر شده در میان جدایه‌های مورد بررسی مشاهده گردید. به طوری که جدایه‌های مریوان II با طول رشته ۳۲۲ جفت بازی، قراخیل II، کرج او II، گرگان I با طول رشته ۳۲۰ جفت بازی، گرگان II با طول رشته ۳۱۹ جفت بازی، مشهد و زقان با طول رشته ۳۲۴ جفت بازی و جدایه مغان با طول رشته ۳۲۵ جفت بازی از سایر جدایه‌ها که دارای طول رشته ۳۲۱ جفت بازی بودند متفاوت گزارش شدند.

(۲۶). با این تفاوت که پس از افزودن بافر به تیوب‌های محتوی اسپورهای ساییده شده، تیوب‌ها به مدت ۵ دقیقه به وسیله شیکر با حداکثر دور مخلوط گردیدند.

ج) ITS1 PCR: از پرایمرهای ITS1 5'-dGGA AGT (ITS5) (Rust2) 5'-dTGT CTG TAA CAA GG-3' به منظور تکثیر ناحیه CAC TGT GTT CTT CAT C-3 ITS1 استفاده گردید. این آغازگرها تکثیر ناحیه‌ای را در فاصله انداز بین ژن‌های ۱۸S و ۵/۸S در DNA ریبوزومی به نام ITS1 بر عهده دارند.

واکنش PCR با حجم نهایی ۵۰ میکرولیتر شامل: ۵ میکرولیتر PCR buffer (10×)، ۱.۵ mM MgCl<sub>2</sub>، ۱/۵ میکرولیتر میکرولیتر (۵ pM)، ۰/۳ میکرولیتر آنزیم dNTPs، ۰/۳ میکرولیتر (۵۰ پیکومول) از هر آغازگر و ۳ میکرولیتر (۵۰ نانوگرم) از نمونه DNA انجام گردید. واکنش PCR در دستگاه ترموسایکلر با شرایط دمایی ۳ دقیقه و اسرشت شدن ابتدایی در دمای ۹۴ درجه سانتی‌گراد و در ادامه ۳۰ دقیقه چرخه شامل و اسرشت شدن در دمای ۹۵ درجه سانتی‌گراد به مدت ۲/۵ دقیقه، اتصال در دمای ۵۰ درجه سانتی‌گراد به مدت ۳/۵ دقیقه، طویل شدن در دمای ۷۲ درجه سانتی‌گراد به مدت ۳ دقیقه و در نهایت طویل شدن نهایی در دمای ۷۲ درجه سانتی‌گراد به مدت ۵ دقیقه انجام شد. محصول PCR به ژل



شکل ۱: محصولات PCR ناحیه ITS1 بیست جدایه قارچ *Puccinia triticina*.

در موقعیت باز ۳۲ دیده شد. جدایه کرج I دارای ناحیه حذف شده در موقعیت بازهای ۲۲۴ تا ۲۲۲ بود. جدایه‌های مشهد و زرقان تنها دارای یک ناحیه حذف شده در موقعیت باز ۲۲۱ بودند. جدایه مغان در موقعیت بازهای ۲۲۴ تا ۲۲۱ به ترتیب دارای بازهای T, A, C, A در موقعیت بازهای ۲۲۴ بود. جدایه‌های مشهد و زرقان در موقعیت بازهای ۲۲۲ تا ۲۲۴ بود. جدایه مریوان II در به ترتیب دارای بازهای A, C و T بودند. جدایه مریوان II در موقعیت باز ۲۲۱ دارای یک باز T بود. این میزان تفاوت در بین توالی‌های ناحیه ITS1 نشان‌دهنده اختلاف‌های بسیار اندک در این ناحیه از جدایه‌های مورد بررسی می‌باشد.

جدایه‌های همدان در موقعیت‌های ۱۶، ۲۰ و ۴۵ به ترتیب دارای بازهای G, C و C، اهواز II در موقعیت ۱۹۷ دارای باز T و قراخیل I در موقعیت ۱۰۳ دارای باز C بودند. این امر نشان دهنده وجود جهش در این نواحی می‌باشد. جدایه مغان نسبت به سایر جدایه‌ها قادر نقاط حذف شده بود اما در سایر جدایه‌های مورد بررسی یک ناحیه حذف شده در موقعیت بازهای ۲۲۴ تا ۲۲۲ وجود داشت. در مورد جدایه‌های قراخیل II، کرج II و گرگان I و II این نواحی حذف شده در موقعیت بازهای ۲۲۰ تا ۲۲۴ مشاهده گردید. همچنین در جدایه‌های گرگان I و کرج I یک ناحیه حذف شده نیز

#Marivan_I	GGAGTAAAGA GTCCGTAACAA GGTTTCGCTA GGTGAACCTG CGGAAGGATC ATTATTAAAA GAACTAGAGT GCACCTAATT GTGGCTCGAC CCCTTT--A AACCTTAACCC	[110]
#Marivan_II	.....	[110]
#Hamadan_I	.....C...G.....	[110]
#Hamadan_II	.....	[110]
#Eslam_Abad	.....	[110]
#Borojerd_I	.....	[110]
#Borojerd_II	.....	[110]
#Ardebil_I	.....	[110]
#Ardebil_II	.....	[110]
#Ahvaz_I	.....	[110]
#Ahvaz_II	.....	[110]
#Gharakhil_I	.....	[110]
#Gharakhil_II	.....	[110]
#Karaj_I	.....	[110]
#Karaj_II	.....	[110]
#Gorgan_I	.....	[110]
#Gorgan_II	.....	[110]
#Mashad	.....	[110]
#Zarghan	.....	[110]
#Moghan	.....	[110]
 #Marivan_I	AAACTT-TTA ACACCTTOTTG GCATGATTG AAAGAACAT TGTGATTAAG TATACTGGC ATTCTTTATT GAAATGTCAC ATTACCCCCC CTCTTTCTA TTTTTTTTT	[220]
#Marivan_II	.....	[220]
#Hamadan_I	.....	[220]
#Hamadan_II	.....	[220]
#Eslam_Abad	.....	[220]
#Borojerd_I	.....	[220]
#Borojerd_II	.....	[220]
#Ardebil_I	.....	[220]
#Ardebil_II	.....	[220]
#Ahvaz_I	.....	[220]
#Ahvaz_II	.....	[220]
#Gharakhil_I	.....	[220]
#Gharakhil_II	.....	[220]
#Karaj_I	.....	[220]
#Karaj_II	.....	[220]
#Gorgan_I	.....	[220]
#Gorgan_II	.....	[220]
#Mashad	.....	[220]
#Zarghan	.....	[220]
#Moghan	.....	[220]
 #Marivan_I	TTT---AAG TAACCAAGT TTAAATGAAT GTAAACCAAC CTTTAAATTA TAATACTT TTAAACATGG ATCTCTAGGC TCTCACATCG ATGAAGAACAA CAGTGAAA	[328]
#Marivan_II	...---T...	[328]
#Hamadan_I	.....	[328]
#Hamadan_II	.....	[328]
#Eslam_Abad	...---	[328]
#Borojerd_I	.....	[328]
#Borojerd_II	.....	[328]
#Ardebil_I	.....	[328]
#Ardebil_II	.....	[328]
#Ahvaz_I	.....	[328]
#Ahvaz_II	.....	[328]
#Gharakhil_I	.....	[328]
#Gharakhil_II	.....	[328]
#Karaj_I	.....	[328]
#Karaj_II	.....	[328]
#Gorgan_I	.....	[328]
#Gorgan_II	.....	[328]
#Mashad	...-AAT...	[328]
#Zarghan	...-AAT...	[328]
#Moghan	...TAAT...	[328]

شکل ۲: هم‌ترازی توالی‌های ناحیه ITS1 جدایه‌های مورد بررسی زنگ قهوه‌ای کندم.

جدول ۲: تفاوت‌های موجود بین جدایه‌های مورد بررسی از نظر اندازه رشته، موقعیت و نوع بازهای جهش یافته، حذف و اضافه شده.

ردیف		نام جدایه	اندازه رشته (جفت باز)	موقعیت و نوع باز جهش یافته	موقعیت بازهای حذف شده	موقعیت و نوع باز اضافه شده
۱	مریوان	I	۳۲۱	-	۲۲۴-۲۲۱	-
۲	مریوان	II	۳۲۲	-	۲۲۴-۲۲۲	(T) ۲۲۱
۳	همدان	I	۳۲۱	(C) ۴۵، (G) ۲۰، (C) ۱۶	۲۲۴-۲۲۱	-
۴	همدان	II	۳۲۱	-	۲۲۴-۲۲۱	-
۵	اسلام آباد		۳۲۱	-	۲۲۴-۲۲۱	-
۶	بروجرد	I	۳۲۱	-	۲۲۴-۲۲۱	-
۷	بروجرد	II	۳۲۱	-	۲۲۴-۲۲۱	-
۸	اردبیل	I	۳۲۱	-	۲۲۴-۲۲۱	-
۹	اردبیل	II	۳۲۱	-	۲۲۴-۲۲۱	-
۱۰	اهواز	I	۳۲۱	-	۲۲۴-۲۲۱	-
۱۱	اهواز	II	۳۲۱	(T) ۱۹۷	۲۲۴-۲۲۱	-
۱۲	قراخیل	I	۳۲۱	(C) ۱۰۳	۲۲۴-۲۲۱	-
۱۳	قراخیل	II	۳۲۰	-	۲۲۴-۲۲۰	-
۱۴	کرج	I	۳۲۰	-	۲۲۴-۲۲۲، ۳۲	-
۱۵	کرج	II	۳۲۰	-	۲۲۴-۲۲۰	-
۱۶	گرگان	I	۳۲۰	-	۲۲۴-۲۲۰	-
۱۷	گرگان	II	۳۱۹	-	۲۲۴-۲۲۰، ۳۲	-
۱۸	مشهد		۳۲۴	-	۲۲۱	(T) ۲۲۴، (C) ۲۲۳، (A) ۲۲۲
۱۹	زرقان		۳۲۴	-	۲۲۱	(T) ۲۲۴، (C) ۲۲۳، (A) ۲۲۲
۲۰	مغان		۳۲۵	-	-	(T) ۲۲۴، (C) ۲۲۳، (A) ۲۲۲

یکسان بودند. هر چند این واحدهای بازی تکرار شونده از نظر موقعیت قرار گیری در بین جدایه‌های مورد بررسی تفاوت‌هایی با یکدیگر داشتند، بنابراین به طور کلی می‌توان چنین نتیجه‌گیری نمود که ناحیه ITS1 قارچ *P. triticina* از قسمت‌هایی تشکیل شده است که دارای واحدهایی از بازهای تکرار شونده و نواحی دیگری که دارای توالی‌های اختصاصی و غیر تکراری می‌باشند.

## بحث

در این پژوهش با وجود تفاوت در طیف بیماریزایی و جغرافیایی جدایه‌های مورد بررسی، توالی‌های مربوط به ناحیه ITS1 دارای تفاوت اندکی با یکدیگر بودند. مطالعات نشان داده است که تفاوت‌های درون و بین گونه‌ای، گونه‌های مختلف قارچی در این ناحیه اندک می‌باشد (۲۷). در رابطه با قارچ *P. boroniae* ITS1 گزارش گردیده است که چند شکلی اندکی در ناحیه ITS1 جدایه‌های این قارچ جمع آوری شده از مناطق مختلف آب و هوایی واز میزان مختلف بودند (۲۸). همچنین در طول سال‌های ۱۹۰۳ تا ۲۰۰۳ عدم وجود چند شکلی در ناحیه ITS1 جدایه‌های قارچ *P. horiana* از مناطق مختلف کشور بلژیک و نیز سایر کشورها به

بررسی توالی‌های ITS1 تکثیر شده جدایه‌ها از نظر بازهای تکرار شده در طول رشته، نشان داد که ناحیه ITS1 زنگ قهقهه‌ای گندم از تعدادی نواحی تکرار شده بازی تشکیل شده است. این نواحی تکرار شونده در تمام جدایه‌های مورد بررسی وجود داشتند و از نظر تعداد واحدهای تکرار شونده و همچنین ترتیب بازها در بین جدایه‌های مورد بررسی تفاوت‌های مشاهده گردید (جدول ۲).

در اکثر جدایه‌های مورد بررسی تعداد واحدهای باز تکرار شونده ۲۷ واحد بود. به جز جدایه همدان I که دارای ۲۵ واحد بازی، جدایه‌های قراخیل I و II، کرج II و گرگان I که دارای ۲۶ واحد تکرار شونده باز و جدایه‌های مریوان II، کرج I و مغان که دارای ۲۸ واحد تکرار شونده باز بودند.

در این مطالعه بزرگترین واحد تکرار شونده، دارای ۱۱ جفت باز بود که در تمامی جدایه‌های مورد بررسی مشاهده گردید. جدایه‌های مریوان II و مغان دارای یک واحد اضافی از بازهای تکرار شونده (TTTTTTT) نسبت به سایر جدایه‌های مورد بررسی بودند. همچنین جدایه‌های گرگان I و II، کرج II و قراخیل II قادر بازهای تکرار شونده (TTTTTTT) بودند. سایر واحدهای تکرار شونده بازها در تمامی جدایه‌های مورد بررسی

اندک بوده است. با توجه به این نکته چنین به نظر می‌رسد که این ناحیه یک بخش حفاظت شده درون گونه‌ای بوده و جدایه‌هایی که تحت شرایط آب و هوایی مختلف و با توان بیماریزایی متفاوت مشغول فعالیت می‌باشند از لحاظ توالی‌های این ناحیه از DNA تفاوتی با یکدیگر ندارند.

### نتیجه گیری

یافته‌های پژوهش جاری نشان داد که هیچ گونه ارتباط منطقی بین تفاوت‌های موجود در ناحیه ITS1 جدایه‌ها و تفاوت میان پاتوتایپ و فنوتایپ جدایه‌ها وجود نداشته است. بنابراین می‌توان چنین نتیجه‌گیری نمود که توالی یابی این ناحیه از DNA ریبوزومی نمی‌تواند به عنوان یک نشانگر جهت تشخیص پاتوتایپ‌های قارچ عامل بیماری زنگ قهوه‌ای گندم مورد استفاده قرار گیرد. بنابراین یافتن توالی‌هایی از دیگر نواحی ژنومی این قارچ که بتواند بیانگر تفاوت‌های پاتوتایپی باشد ضروری به نظر می‌رسد.

### تشکر و قدردانی

نویسنده‌گان این مقاله از معاونت پژوهشی دانشگاه آزاد اسلامی واحد جهرم به دلیل حمایت‌های مالی و اجرایی کمال امتنان را دارند.

### References

- Abbasy M, Ershad J, Hajarood G. Taxonomy of *Puccinia recondita* s. lat. causing brown rust on grasses in Iran. Iran J Plant Pathol. 2005; 4(41): 9-15. [In Persian].
- Kolmer JA. Tracking wheat rust on a continental scale. Curr Opin Plant Biol. 2005; 8: 441-449.
- Marasas CN, Smale M, Singh RP. The economic impact in developing countries of leaf rust resistance breeding in CIMMYT related spring bread wheat. Mexico, DF: International Maize and Wheat Improvement Center. 2004; 38P.
- Roelfs AP, Singh RP, Saari EE. Rust diseases of wheat: concepts and methods of disease management. Mexico, DF: CIMMYT. 1992; 81P.
- Chester KS. The nature and prevention of the cereal rusts as exemplified in the leaf rust of wheat. Waltham, MA: Chronica Botanica. 1946; 269P.
- Abdel Hak TM, EL- Sherif NA, Bassiouny A, Shafik I A, EL Dauadi Y. Control of wheat leaf rust by systemic fungicides. Proceedings of the Fifth European and Mediterranean Cereal Rusts Conference. Bari, Italy, 1980; 255-266.
- Hanzalova A, Huszar J, Bartos P, Herzova E. Occurrence of wheat leaf rust *Puccinia triticina* races and virulence changes in Slovakia in 1994-2004. J Biol. 2008; 63 (2): 171-174.
- Kassem M, El-Ahmed A, Shafik HM, Nachit F. Identification of physiological races of *Puccinia triticina* Eriks, Wheat leaf rust in Northern Syria and South Turkey. Ninth Arab Congress of Plant Protection; 2006 19-23 November 2006; Damascus, Syria. 2006; 109.

اثبات رسیده است (۲۹). وجود تفاوت‌های زیاد در توالی ناحیه ITS1 جدایه‌های سه گونه *P. striiformis*, *P. graminis* و *P. triticina* گزارش شده است (۳۰). توالی ناحیه ITS1 در پاتوتایپ‌های مختلف قارچ *P. triticina* دارای مناطق جهش یافته، حذف و یا اضافه شده اندکی نسبت به یکدیگر بودند اما تفاوت‌های اندکی از نظر طولی در بین آن‌ها مشاهده گردید.

تفاوت‌های اندک در طول ناحیه ITS1 در بین جدایه‌های قارچ *P. boroniae* گزارش شده است. دلیل این تفاوت‌ها را شاید بتوان اختلاف در تعداد واحدهای تکرار شونده AT این قارچ دانست. همچنین در مورد این گونه قارچی وجود نقاط جهش یافته در ناحیه ITS1 مشخص شده است (۲۸). جدایه‌های قارچ *P. graminis* که از مناطق مختلف ایران، آمریکا و آلمان جمع‌آوری شده بودند نیز تفاوت در طول و محتوای بازهای آلی در ناحیه ITS1 را نشان داده‌اند (۲۵). تفاوت‌هایی از نظر تعداد واحدهای سه تایی تکرار شونده در ناحیه ITS1 درون و بین جدایه‌های قارچ *P. horiana* مشاهده شده است (۲۹).

نتایج به دست آمده در مطالعه حاضر نشان داد که توالی‌های ناحیه ITS1 در بین جدایه‌های مختلف قارچ عامل زنگ قهوه‌ای گندم، بسیار مشابه با یکدیگر می‌باشند. بنابراین می‌توان چنین نتیجه گیری نمود که میزان تکامل درون گونه‌ای در این ناحیه بسیار

9. Long DL, Kolmer JA, Leonard KJ, Hughes ME. Physiologic specialization of *Puccinia triticina* on wheat in the United States in 2000. *Plant Dis.* 2002; 86(9): 981-986.
10. Lind V, Gulyaeva E. Virulence frequencies of *Puccinia triticina* in Germany and the European regions of the Russian Federation. *J Phytopathol.* 2007; 155(1):13-21.
11. Bamdadian A. Physiologic races of *Puccinia recondita* in Iran (1968-1972). *Cereal Rust Bull.* 1973; 1: 45-47.
12. Torabi M, Nazari K, Afshari F. Genetics of pathogenicity of *Puccinia recondita* f.sp. *tritici*, the causal agent of leaf rust of wheat. *Iran J Agr Sci.* 2001; 32: 635.
13. Afshari F, Torabi M, Kia S, Dadrezaei T, Safavi SA, Chaichi M, et al. Monitoring of virulence factors of *Puccinia triticina*, the causal agent of wheat leaf rust in Iran during 2002-2004. *Seed and Plant Improvement Journal.* 2006; 21(4): 485-501. [In Persian].
14. Niazmand AR, Afshari F, Abbasi M, Rezaee S. Study on pathotype diversity and virulence factors of *Puccinia triticina Erikson*, the causal agent of wheat brown rust in Iran. *Iran J Plant Pathol.* 2010; 46(3): 187-202. [In Persian].
15. McDonald BA, Martinez JP. DNA restriction fragment lenght polymorphism among *Mycosphaerella graminicola* (anamorph *Septoria tritici*) isolates collected from a single field. *Phytopathology.* 1990; 80(12): 1368-73.
16. Henson JM, French R. The polymerase chain reaction and plant disease diagnosis. *Annu Rev Phytopathol.* 1993; 31: 81-109.
17. Egger KN. Molecular analysis of ectomycorrhizal fungal communities. *Can J Bot.* 1995; 73(1): 1415-1422.
18. Ennos RA, McConnell KC. Using genetic markers to measure natural selection in populations of fungi. *Can J Bot.* 1995; 73: 302-310.
19. Bridge PD, Arora DK. Applications of PCR in Mycology. In: Bridge PD, Arora DK, Reddy CA, Elander RP (eds). *Interpretation of PCR methods for species definition:* CAB International. 1998; pp. 63-84.
20. Takamatsu S, Hirata T, Sato Y. Phylogenetic analysis and predicted secondary structures of the rDNA internal transcribed spacers of the powdery mildew fungi (Erysiphaceae). *Mycoscience.* 1998; 39(4): 441-53.
21. Nazar RN, Hu X, Schmidt J, Culham D, Robb J. Potential use of PCR-amplified ribosomal intergenic sequences in the detection and differentiation of *Verticillium wilt* pathogens. *Physiol Mol Plant Path.* 1991; 39(1): 1-11.
22. Zambino PJ, Szabo LJ. Phylogenetic relationships of selected cereal and grass rusts based on rDNA sequence analysis. *Mycologia.* 1993; 85(3): 401-414.
23. Jennings JM, Newton AC, Buck KW. Detection of polymorphism in *Puccinia hordei* using RFLP and RAPD markers, differential cultivars and analysis of the intergenic spacer region of rDNA. *J Phytopathol.* 1997; 145(11-12): 511-519.
24. Kim WK, Zerucha T, Klassen GR. A region of heterogeneity adjacent to the 5S ribosomal RNA gene of cereal rusts. *Curr Genet.* 1992; 22(2): 101-105.
25. Abbasi M, Goodwin SB, Scholler M. Taxonomy, phylogeny, and distribution of *Puccinia graminis*, the black stem rust: new insights based on rDNA sequence data. *Mycoscience.* 2005; 46(4): 241-247.
26. Reader U, Broda P. Rapid preparation of DNA from filamentous fungi. *Lett Appl Microbiol.* 1985; 1(1): 17-20.
27. Hillis DM, Dixon MT. Ribosomal DNA: molecular evolution and phylogenetic inference. *Q Rev Biol.* 1991; 66(4): 411-453.
28. Driessen S, O'Brien PA, Hardy GESJ. Diversity of *Puccinia boroniae* assessed by teliospore morphology and restriction fragment patterns of ribosomal DNA. *Australas Plant Pathol.* 2004; 33 (1): 77-82.
29. Alaei H, De Backer M, Nuytinck J, Maes M, Höfte M, Heungens K. Phylogenetic relationships of *Puccinia horiana* and other rust pathogens of Chrysanthemum x morifolium based on rDNA ITS sequence analysis. *Mycol Res.* 2009; 113 (6-7): 668-683.
30. Barnes CW, Szabo LJ. Detection and identification of four common rust pathogens of cereals and grasses using realtime polymerase chain reaction. *Phytopathology.* 2007; 97(6): 717-727.



## Determination of pathotype diversities of *Puccinia triticina* Erikson (causal agent of wheat brown rust) in Iran based on rDNA ITS1 sequencing

Ali Reza Niazmand<sup>1</sup>, Shahab Haj Mansoor<sup>2</sup>

<sup>1</sup>Department of Plant Pathology, Jahrom Branch, Islamic Azad University, Jahrom, Iran,

<sup>2</sup>Department of Plant Pathology, Research and Science Branch, Islamic Azad University, Tehran, Iran.

---

### Abstract

**Background and Objective:** Wheat brown rust is one of the most important diseases caused by *Puccinia triticina* Erikson. In recent years, determination of Brown rust pathotypes based upon rDNA ITS1 sequencing has become more interested. The aim of this research was evaluation the similarities and differences ITS1 of ribosomal DNA between the brown rust pathotypes collected from different geographical and climatically parts of Iran.

**Material and Methods:** The DNA extraction was performed on urediniospore of collected sample. The ITS5 and Rust 2 primers were used for PCR amplification of rDNA ITS1 region, and the amplified products were sequenced directly. The accession numbers of isolate sequences were registered in GeneBank. Multiple sequence alignments and identification of tandem repeats were carried out by MPEG4 and DNA MAN softwares.

**Results:** The results showed %0-1.2 differences between ITS1 sequences. Different mutations, including deletion, insertion, number of tandem repeat and some differences in ITS1 length were observed in DNA sequences.

**Conclusion:** Despite differences in pathotype, phenotype and geographical distributions of isolates, only limited differences were observed in ITS1 sequences. Because no logical correlation was observed between differences in pathotypes and ITS1 sequences, this rDNA region cannot be used as marker for determination of pathotypes of these fungi.

**Keywords:** Brown rust, Wheat, Sequencing, ITS1

---

Correspondence to: Ali Reza Niazmand  
E-mail: niazmand2003@yahoo.com

Tel: 09177104870.

Journal of Microbial World 2010 3(3): 194-202